

# Exercício 3 de Controle de Processo

Disciplina: Técnicas de Controle de Processos Industriais

Aluno: Gabriel Becker

Matrícula: 2013075965

## 1) Cálculo da Matriz RGA

$$Y = \begin{bmatrix} H_2 \\ T_2 \end{bmatrix} = \begin{bmatrix} \frac{R_{02} \bar{q}_1}{R_{02} A_2 s + 1} & \frac{R_{02} \bar{q}_f}{R_{02} A_2 s + 1} \\ \frac{(T_{10} - T_{20}) \bar{q}_1}{A_2 h_{20} s + \bar{q}_1 \delta_{q0} + \bar{q}_f \delta_{fo}} & \frac{(T_{10} - T_{20}) \bar{q}_f}{A_2 h_{20} s + \bar{q}_1 \delta_{q0} + \bar{q}_f \delta_{fo}} \end{bmatrix} \begin{bmatrix} \delta_q \\ \delta_f \end{bmatrix}$$

$$Y = \begin{bmatrix} \frac{0,3766}{2,8215s+1} & \frac{0,8532}{2,8215s+1} \\ \frac{0,007128}{0,79375s+0,0002813} & \frac{-0,009572}{0,79375s+0,0002813} \end{bmatrix} U$$

$$G(0) = \begin{bmatrix} 0,3766 & 0,8532 \\ 25,3395 & -34,0277 \end{bmatrix} \quad RGA = \begin{bmatrix} 0,3122 & 0,6278 \\ 0,6278 & 0,3722 \end{bmatrix}$$

N Index: Pareamento  
 $H_2 \rightarrow \delta_q$   
 $T_2 \rightarrow \delta_f$

$$\frac{\det(G_{(01)})}{0,3766 \cdot (-34,0277)} = 2,6871$$

Pareamento  
 $H_2 \rightarrow \delta_f$   
 $T_2 \rightarrow \delta_q$

$$\frac{\det(G_{(02)})}{0,8532 \cdot 25,3395} = -1,5927$$

Em função de o segundo pareamento possuir valor negativo para o critério de N., só podemos usar o outro pareamento (G11, G22). Porém, os valores da matriz RGA são bem distantes de 1, o que pode dificultar a atuação do controlador descentralizado.

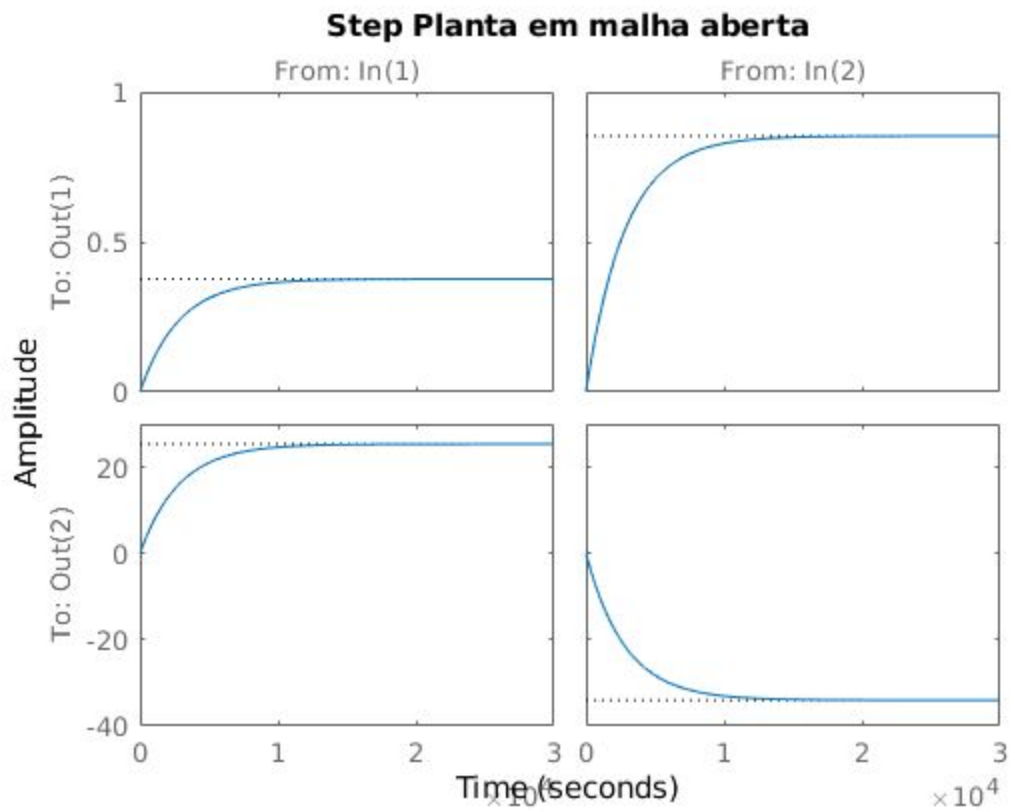
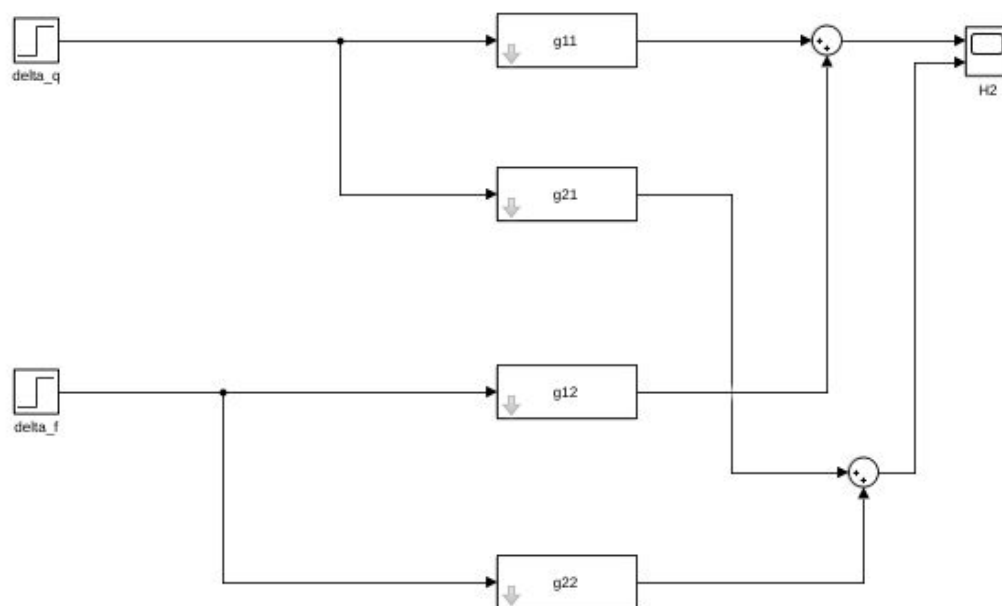


Diagrama de blocos da malha aberta:



## 2) Controladores Descentralizados

$$g_{11} = \frac{0,3766}{2821s+1} \quad g_{11}' = \frac{1}{\tau_s+1} \quad \tau = 0,8 \cdot 2821$$

$$\frac{CG}{1+CG} = G' \quad CG = G' + CG'G \quad C = \frac{1}{\tau+1}$$

$$CG - CGG' = G' \quad C = \frac{0,3766}{2821s+1 \left(1 - \frac{1}{\tau_s+1}\right)}$$

$$C(G(1-G')) = G' \quad C_1 = \frac{2815s+1}{8485} \quad C_1 = \frac{2821s+1}{0,3766 \tau_s}$$

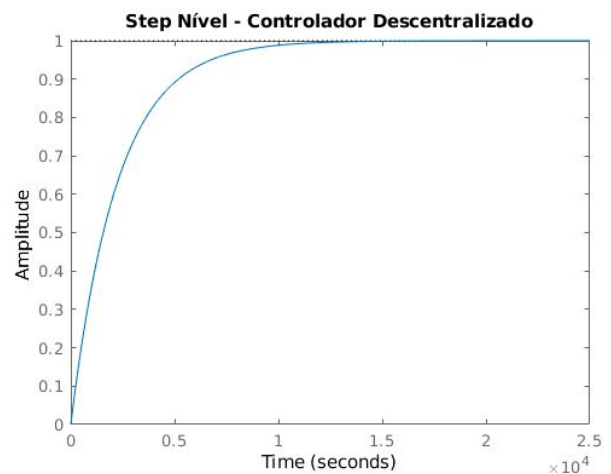
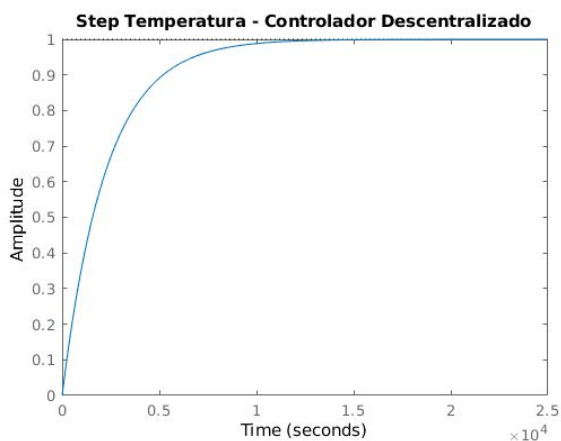
$$g_{22} = \frac{-0,009572}{67934s+0,0002713} = -\frac{340206}{2820s+1} = \frac{k}{\alpha s+1}$$

$$C_2 = \frac{\frac{1}{\tau_s+1}}{\frac{k}{\alpha s+1} \left( \frac{\tau_s+1-1}{\tau_s+1} \right)} = \frac{\alpha s+1}{k \tau_s} \quad \tau = 0,8 \cdot 0,00282$$

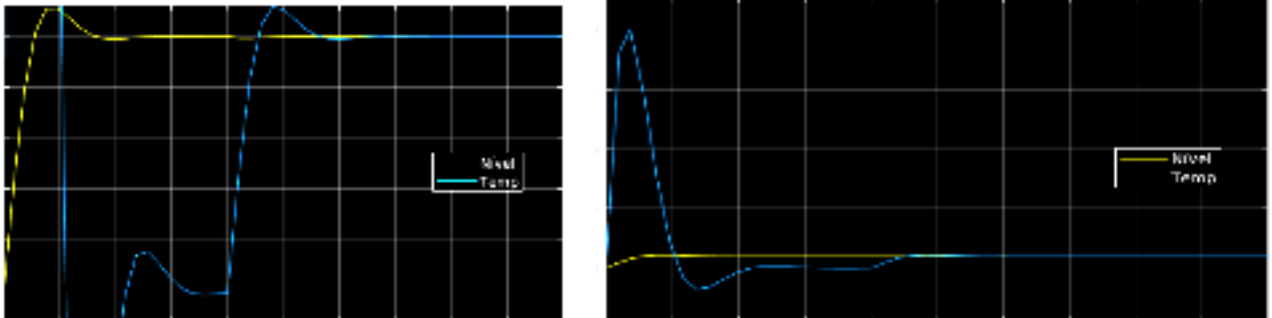
$$C_2 = \frac{2820s+1}{34,0206/0,8 \cdot 2820}s$$

$$C_2 = \frac{-2820s+1}{76750s+1}$$

Para esses controladores temos, nas malhas do pareamento, as seguintes respostas ao degrau:

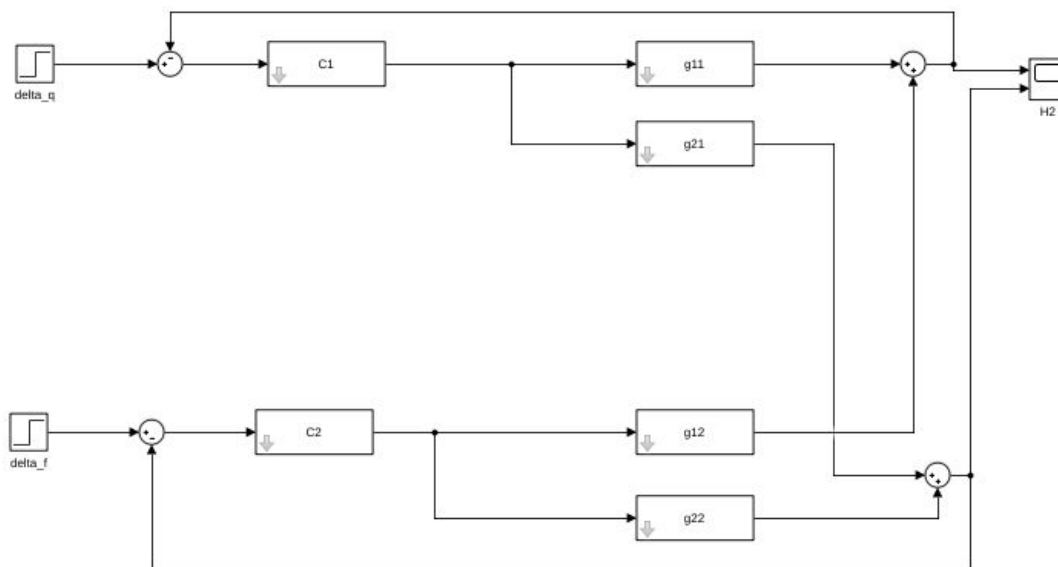


Porém, o resultado da simulação, por incluir nas realimentações o erro que soma as dinâmicas das malhas que ficaram de fora do pareamento, o resultado é diferente:



Podemos observar que as malhas são BIBO estáveis (reações limitadas em regime permanente a uma entrada limitada). A malha de nível apresenta um sobressinal mas o comportamento é razoável, menos de 10% de sobressinal. Porém, a malha de temperatura tem um sobressinal tão intensa que torna o controlador impraticável

Diagrama de blocos das malhas com controle descentralizado:



### 3) Desacoplador

$$G = \begin{bmatrix} \frac{0,3766}{2821s+1} & \frac{0,8532}{2821s+1} \\ \frac{25,3395}{2820s+1} & \frac{-34,0277}{2820s+1} \end{bmatrix}$$

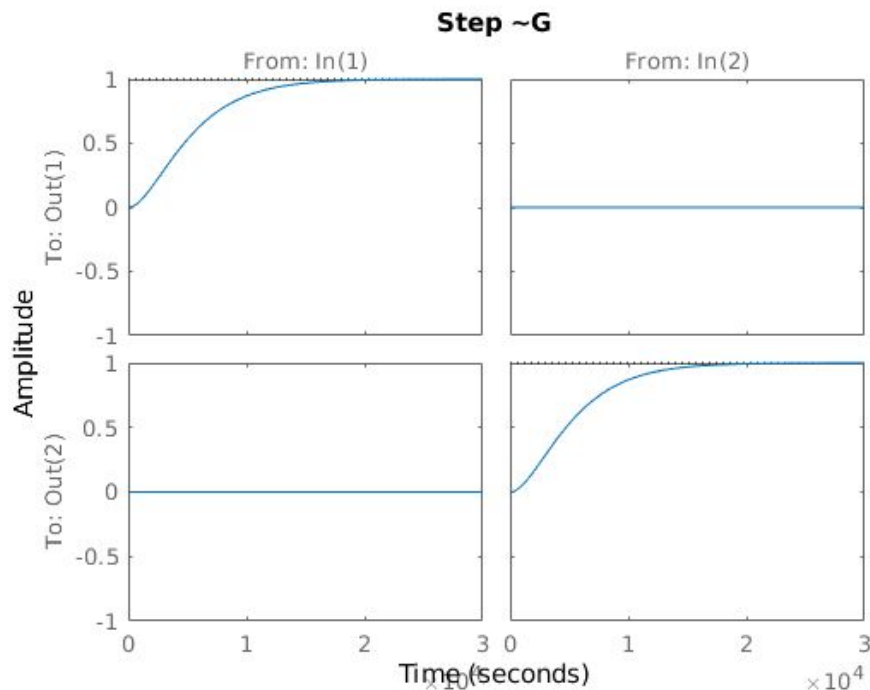
$$G = PN = \frac{1}{(2820s+1)(2821s+1)} \begin{bmatrix} 0,3766(2820s+1) & 0,8532(2820s+1) \\ 25,3395(2821s+1) & -34,0277(2821s+1) \end{bmatrix}$$

$$\tilde{G} = GD, \text{ p/ } \hat{G} = P, D = N^{-1}$$

$$D = \begin{bmatrix} \frac{3,5 \cdot 10^{-4}s + 1,2 \cdot 10^{-7}}{s^2 + 7 \cdot 10^{-4}s + 1,2 \cdot 10^{-7}} & \frac{8,8 \cdot 10^{-6}s + 3,11 \cdot 10^{-9}}{s^2 + 7 \cdot 10^{-4}s + 1,2 \cdot 10^{-7}} \\ \frac{2,6 \cdot 10^{-4}s + 9,25 \cdot 10^{-8}}{s^2 + 7 \cdot 10^{-4}s + 1,2 \cdot 10^{-7}} & \frac{-(3,8 \cdot 10^{-6}s + 1,3 \cdot 10^{-9})}{s^2 + 7 \cdot 10^{-4}s + 1,2 \cdot 10^{-7}} \end{bmatrix}$$

$$s^2 + 7 \cdot 10^{-4}s + 1,2 \cdot 10^{-7} = 0 \rightarrow \text{estável}$$

O cálculo acima indica quais são as matrizes de transferência desacoplada (P ou  $\tilde{G}$ ) e o feedforward que realiza o desacoplamento (D). A resposta ao degrau da matriz de transferência é a seguinte:



#### 4) Controlador Centralizado

$$\textcircled{C} \quad p / \frac{H_2}{S_0} \quad \omega_n = \frac{4}{0,6865} \quad t_s = 0,8 \cdot 3 \cdot 2821 = 48504$$

$$G_d = \frac{7,5 \cdot 10^{-7}}{s^2 + 1,2 \cdot 10^{-3}s + 7,5 \cdot 10^{-7}} \quad \textcircled{C} = \frac{G_d}{G(1 - G_d)}$$

$$\textcircled{C}_1 = \frac{(2821s+1)(2820s+1)7,5 \cdot 10^{-7}}{s(s+1,2 \cdot 10^{-3})}$$

$$\textcircled{C} \quad p / \frac{T_2}{S_f} \quad \omega_n = \frac{4}{0,6865} \quad t_s = 0,8 \cdot 3 \cdot 2020 = 48480$$

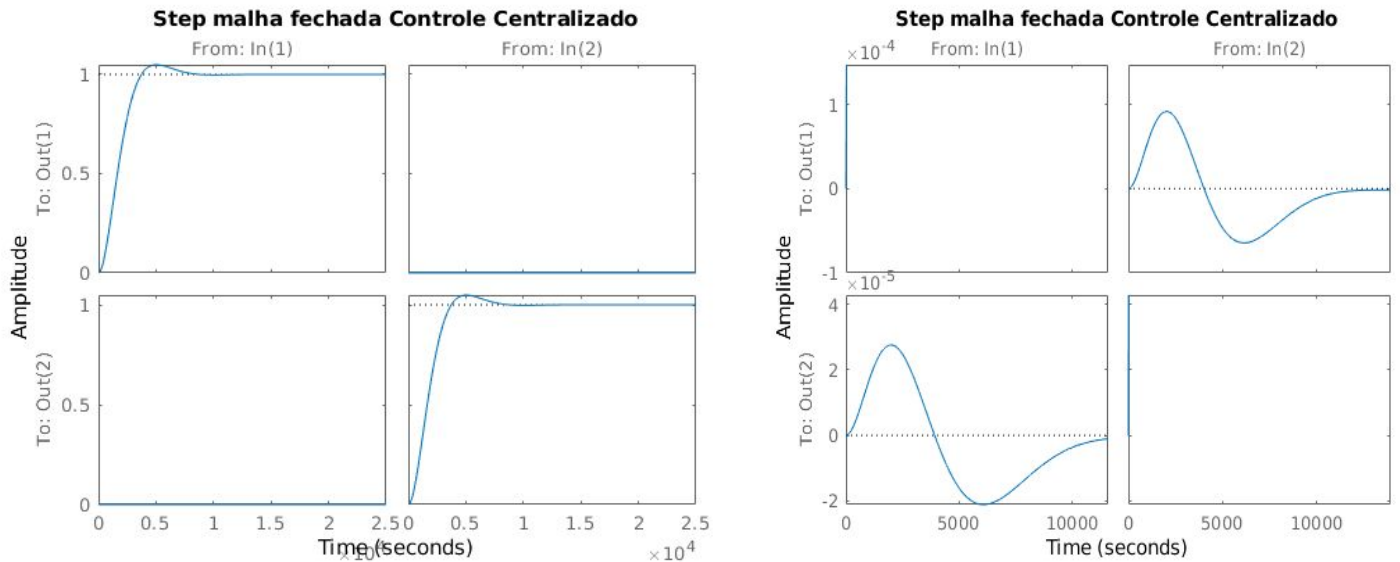
$$G_d = \frac{7,5 \cdot 10^{-7}}{s^2 + 1,2 \cdot 10^{-3}s + 7,5 \cdot 10^{-7}} \quad \textcircled{C}_2 = \textcircled{C}_1$$

$$\tilde{\textcircled{C}} = \textcircled{D} \cdot (\textcircled{C}_1 \cdot \textcircled{C}_2)$$

As dinâmicas desejadas, definidas como sistema de segunda ordem que obedeça a especificação de acelerar o tempo de acomodação por um fator de 0.8, são muito próximas, por tanto, considerando que a matriz de transferência descentralizada tem as mesmas dinâmicas na diagonal, podemos usar o mesmo controlador para as duas malhas. Por tanto, o controlador centralizado ( $\tilde{\textcircled{C}}$ ) é o controlador  $\textcircled{C}_1$  para a primeira dinâmica do pareamento multiplicado pela identidade e então multiplicada pelo feedforward descentralizador  $\textcircled{D}$ .

## 5) Simulação Controlador Centralizado

A função `step(feedback(C*(P*eye(2),1))` retorna o seguinte resultado:



Podemos observar que existe uma dinâmica nas malhas fora do pareamento, mas elas rejeitam o degrau em regime permanente e tem um sobressinal da ordem 10e-4 no transitório, ou seja, são insignificantes.

O resultado da simulação com o controlador centralizado é o seguinte.

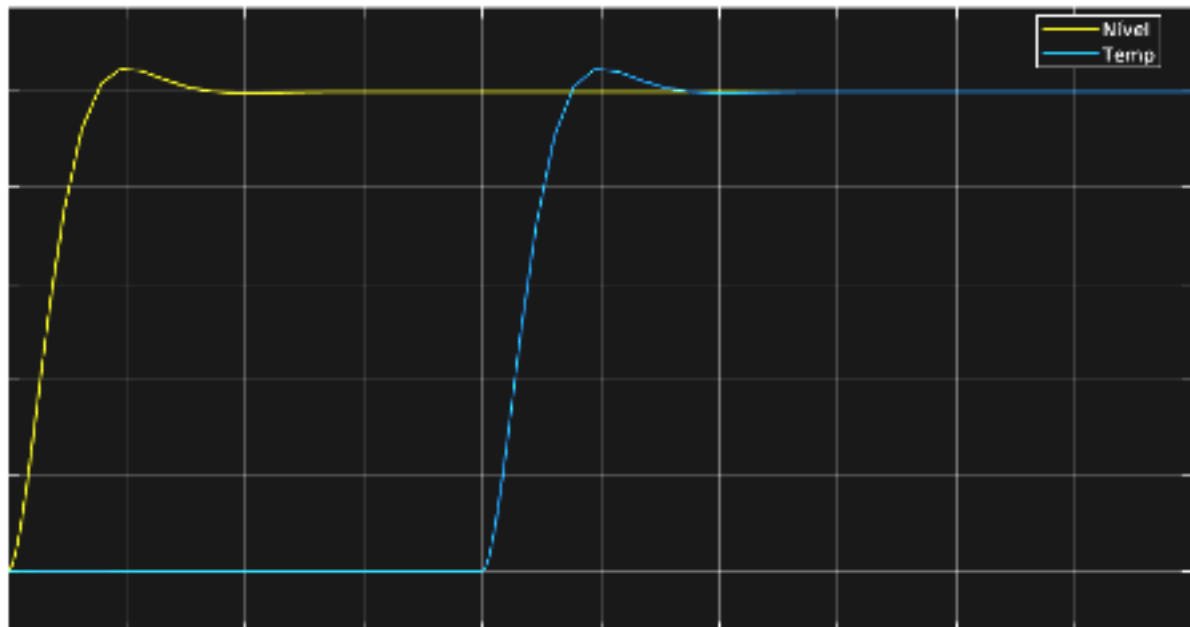


Diagrama de blocos da realimentação com controlador centralizado:

